

Ю.В. ЗАЙЦЕВ
А.Н. МАРЧЕНКО

ПОЛУПРОВОДНИКОВЫЕ СТАБИЛИТРОНЫ



МАССОВАЯ РАДИОБИБЛИОТЕКА

СПРАВОЧНАЯ СЕРИЯ

Выпуск 720

Ю. В. ЗАЙЦЕВ и А. Н. МАРЧЕНКО

ПОЛУПРОВОДНИКОВЫЕ
СТАБИЛИТРОНЫ



«ЭНЕРГИЯ»

МОСКВА 1969

РЕДАКЦИОННАЯ КОЛЛЕГИЯ:

Берг А. И., Борисов В. Г., Бурдейный Ф. И., Бурлянд В. А.,
Ванеев В. И., Геништа Е. Н., Жеребцов И. П., Канаева А. М.,
Корольков В. Г., Кренкель Э. Т., Куликовский А. А., Смирнов А. Д.,
Тарасов Ф. И., Шамшур В. И.

Зайцев Ю. В., Марченко А. Н.

3 12 Полупроводниковые стабилитроны, М., изд-во
«Энергия», 1969.

40 с. с илл. (Массовая радиобиблиотека. Вып. 720)

В брошюре описаны конструкции и приведены параметры кремниевых стабилитронов отечественного производства, а также ряд практических схем с использованием этих полупроводниковых приборов.

Брошюра предназначена для радиолюбителей, но может быть полезна и специалистам, работающим в области конструирования радиоаппаратуры.

3-4-5

383-68

6Ф2.13

Зайцев Юлий Владимирович

Марченко Александр Никитич

Редактор Р. М. Малинин

Технический редактор О. Д. Кузнецова Корректор Э. Б. Шлайфер

Сдано в набор 3/II 1969 г.

Формат 84x108^{1/32}

Усл. печ. л. 2,1

Тираж 50 000 экз.

Подписано к печати 6/Х 1969 г.

Т-11559

Бумага типографская № 3

Уч.-изд. л. 2,47

Зак. 2039

Цена 10 коп.

Издательство «Энергия». Москва, Ж-114, Шлюзовая наб., 10.

Московская типография № 10 Главполиграфпрома
Комитета по печати при Совете Министров СССР,
Шлюзовая наб., 10.

ПРИНЦИП ДЕЙСТВИЯ ПОЛУПРОВОДНИКОВЫХ СТАБИЛИТРОНОВ

Полупроводниковые стабилитроны составляют особую группу полупроводниковых диодов, рабочая точка которых в отличие от обычных выпрямителей в нормальном эксплуатационном режиме лежит на участке вольт-амперной характеристики, соответствующем состоянию пробоя $p-n$ перехода. В таком режиме напряжение на приборе сохраняется примерно постоянным при изменении протекающего тока. При этом возможны два вида пробоя $p-n$ перехода: лавинный и зенеровский.

Механизм лавинного пробоя можно представить следующим образом. Если к $p-n$ переходу приложить обратное напряжение, то произойдет расширение области, обедненной свободными носителями заряда — электронами и дырками. Появляющиеся в этой области свободные носители заряда перемещаются под действием электрического поля и образуют обратный ток перехода. Пока обратное смещение невелико, этот ток остается постоянным, практически не изменяясь с изменением напряжения. При возрастании обратного напряжения до некоторой величины наблюдается резкое увеличение обратного тока. При этом свободные носители, образующие обратный ток перехода, ускоряются электрическим полем настолько, что приобретают энергию, достаточную для ионизации нейтральных атомов полупроводникового материала. В результате происходит образование новых носителей заряда, которые также ускоряются электрическим полем и при столкновении с атомами вызывают их ионизацию и т. д. Таким образом развивается процесс лавинообразного увеличения числа свободных носителей заряда в полупроводнике, вызывающий резкое увеличение обратного тока, т. е. пробой перехода. Несмотря на лавинный характер, процесс остается управляемым — незначительное изменение напряжения вызывает существенное изменение тока, протекающего через переход.

Напряженность электрического поля, при которой возникает лавинное умножение носителей заряда в кремниевых $p-n$ переходах, равна примерно $5 \cdot 10^4$ в/см. В связи с тем, что необходимая для этого напряженность электрического поля постоянна для данного полупроводникового материала, напряжение пробоя возрастает с увеличением ширины $p-n$ перехода:

$$U_{np} = E_{np} d, \quad (1)$$

где U_{np} — напряжение пробоя $p-n$ перехода;

E_{np} — напряженность электрического поля, при которой происходит лавинное умножение носителей заряда;

d — ширина перехода.

Так как величина d зависит от удельного сопротивления полупроводникового материала, то, используя материалы с определенным удельным сопротивлением, получают $p-n$ переходы с заданным напряжением пробоя. Для сплавных кремниевых переходов напряжение лавинного пробоя определяется удельным сопротивлением исходного материала. Для материала n -типа

$$U_{np} = 86\rho^{0,84} \quad (2)$$

и для материала p -типа

$$U_{np} = 23\rho^{0,78}, \quad (3)$$

где ρ — удельное сопротивление материала, ом · см.

Лавинный пробой наблюдается лишь в достаточно широких

p-n переходах с напряжением пробоя более 6–7 в, т. е. в переходах, полученных на высокоомных материалах. Сужение перехода ниже некоторого предела исключает возможность возникновения лавинного пробоя, так как носители заряда не успевают приобрести на такой ширине перехода энергию, достаточную для ионизации нейтральных атомов.

При дальнейшем увеличении напряженности электрического поля в узких *p-n* переходах наступает зенеровский пробой. В этом случае увеличение числа носителей заряда в области перехода является результатом воздействия сильного электрического поля на кристаллическую решетку полупроводникового материала. Под влиянием такого поля разрываются связи, удерживающие валентные электроны в атоме, и образуются новые электронно-дырочные пары, приводящие к резкому возрастанию тока через переход. Для развития зенеровского пробоя необходима высокая напряженность электрического поля в области пространственного заряда, например, для кремния $1,4 \cdot 10^6$ в/см.

Многочисленные исследования показывают, что в *p-n* переходах с пробивным напряжением менее 5 в имеет место зенеровский пробой, а в переходах с пробивным напряжением более 6 в — лавинный. В диапазоне напряжения 5–6 в происходит наложение обоих механизмов пробоя.

Рассмотренные механизмы пробоя (лавинный и зенеровский) наблюдаются как у кремниевых, так и у германиевых *p-n* переходов. Однако в процессе пробоя германиевых *p-n* переходов выделяется значительное количество тепла, что приводит к возникновению дополнительных пар носителей заряда, маскирующих картину лавинного пробоя. В кремниевых же *p-n* переходах явлением тепловой генерации носителей можно пренебречь ввиду более высокой температурной стабильности кремния. Поэтому в качестве материала для полупроводниковых стабилитронов используется кремний.

ОСНОВНЫЕ ПАРАМЕТРЫ И ХАРАКТЕРИСТИКИ ПОЛУПРОВОДНИКОВЫХ СТАБИЛИТРОНОВ

Напряжение стабилизации $U_{ст}$ или напряжение пробоя является одним из основных параметров полупроводникового стабилитрона. В паспортных данных на полупроводниковые стабилитроны указывается номинальная величина напряжения пробоя для нормированного значения тока через стабилитрон.

Отметим, что напряжение зажигания газонаполненных стабилитронов тлеющего разряда лежит в пределах 70–160 в, и получить меньшие значения напряжения практически не удастся. Кремниевые же стабилитроны изготавливают с напряжением пробоя от единиц до нескольких сотен вольт. В настоящее время отечественной промышленностью серийно выпускаются приборы с напряжениями стабилизации от 5 до 400 в при допуске разбросе номинальных значений $\pm 10\%$.

Вольт-амперные характеристики позволяют оценить качество стабилитронов с различными напряжениями пробоя. У кремниевых стабилитронов с напряжением стабилизации менее 6,5 в обратный ток увеличивается почти экспоненциально с увеличением приложенного напряжения и перегиб вольт-амперной характеристики в обла-

сти пробоя довольно плавный. У кремниевых стабилитронов с напряжением стабилизации более 6,5 в переход в области пробоя резко выражен. Различные вольт-амперные характеристики связаны с различием в механизмах пробоя. В первом случае имеет место зенеровский пробой, а во втором — лавинный. Типичные вольт-амперные характеристики низковольтных кремниевых стабилитронов приведены на рис. 1.

Минимальный ток стабилизации $I_{ст. мин}$ — такое значение тока через стабилитрон, при котором возникает устойчивый пробой.

Максимальный ток стабилизации $I_{ст. макс}$ ограничен допустимой мощностью рассеяния и зависит от температуры перехода. Величину максимального тока стабилизации можно определить как отношение предельной мощности рассеяния на стабилитроне к напряжению стабилизации. Максимальный ток полупроводникового стабилитрона может значительно превышать ток через стабилитрон тлеющего разряда. Промышленность выпускает стабилитроны с токами $I_{ст. макс}$ до 5 а.

Между значениями минимального и максимального токов стабилизации напряжение стабилизации (пробоя) изменяется незначительно. Вольт-амперная характеристика на этом участке приближается к прямой линии. В современных кремниевых стабилитронах область перегиба вольт-амперных характеристик занимает узкую зону.

Статическое сопротивление стабилитрона определяется как отношение напряжения стабилизации в данной точке вольт-амперной характеристики к току стабилизации в той же точке.

Динамическое сопротивление стабилитрона R_d определяет влияние малых изменений тока на напряжение стабилизации; величина его равна тангенсу угла наклона вольт-амперной характеристики:

$$R_d = \frac{\Delta U_{ст}}{\Delta I_{ст}}, \quad (4)$$

где $\Delta U_{ст}$ — приращение напряжения стабилизации;
 $\Delta I_{ст}$ — приращение тока стабилизации.

На рис. 2 приведена зависимость динамического сопротивления маломощных стабилитронов от величины напряжения стабилизации для различных значений токов стабилизации. У стабилитронов с низким напряжением стабилизации динамическое сопротивление резко падает при возрастании напряжения пробоя, достигая минимума при 7 в, после чего динамическое сопротивление растёт с увели-

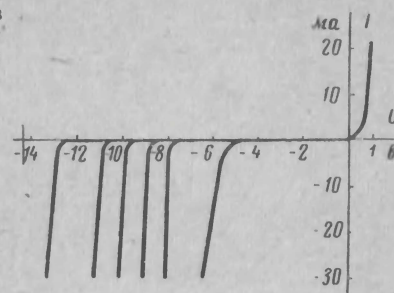


Рис. 1. Вольт-амперные характеристики кремниевых стабилитронов малой мощности.

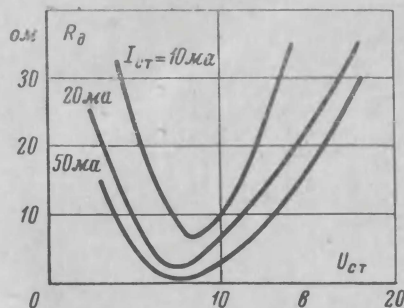


Рис. 2. Зависимость динамического сопротивления стабилизатора от напряжения стабилизации.

Максимальная мощность рассеяния стабилизатора $P_{ст. макс}$ определяется площадью его электронно-дырочного перехода и конструктивным оформлением. Величина номинальной мощности рассеяния стабилизаторов различных типов указывается для определенных температур окружающей среды (или корпуса стабилизатора), исходя из максимально допустимой температуры $p-n$ перехода. Мощность рассеяния связана с температурой следующим выражением:

$$T_{п} = P_{ст} R_{т} + T_{о}, \quad (5)$$

где $T_{п}$ — температура электронно-дырочного перехода;
 $P_{ст}$ — мощность рассеяния стабилизатора;
 $R_{т}$ — тепловое сопротивление стабилизатора, характеризующее изменение температуры перехода при изменении рассеиваемой в стабилизаторе мощности;
 $T_{о}$ — температура окружающей среды.

Способность кремниевых стабилизаторов выдерживать кратковременные перегрузки зависит от максимальной мощности рассеяния и теплового сопротивления прибора. Практика показывает, что полупроводниковые стабилизаторы хорошо выдерживают кратковременные перегрузки.

Температурный коэффициент напряжения стабилизации (ТКН) определяет величину изменения напряжения стабилизации от температуры и зависит от номинального напряжения стабилизации, тока стабилизации, динамического сопротивления, температуры окружающей среды и теплового сопротивления прибора. Значение температурного коэффициента напряжения можно получить из выражения

$$ТКН = \frac{\Delta U_{ст}}{U_{ст} \Delta T}, \quad (6)$$

где ΔT — изменение температуры;
 $\Delta U_{ст}$ — изменение напряжения стабилизации, вызванное изменением температуры на величину ΔT .

ТКН положителен при $U_{ст} > 5-6$ В, отрицателен при меньших его значениях и проходит через нуль при напряжении стабилизации

чением напряжения стабилизации почти линейно. Увеличение динамического сопротивления продолжается до больших величин напряжения стабилизации, достигая у высоковольтных стабилизаторов типа СК50 400/100 500 Ом при токе стабилизации 20 мА.

Из приведенных на рис. 2 кривых следует, что динамическое сопротивление для данного напряжения пробоя зависит от тока $I_{ст}$. При малых токах (в области перегиба вольт-амперных характеристик) оно велико и уменьшается с увеличением тока. Температура окружающей среды также оказывает влияние на динамическое сопротивление.

5–6 В (рис. 3). Зенеровскому механизму пробоя соответствует отрицательный, а лавинному — положительный ТКН. При значениях $U_{ст} > 6-7$ В ТКН не зависит от протекающего через стабилизатор тока; такая зависимость наблюдается лишь при меньших значениях пробивного напряжения.

Значение ТКН изменяется с температурой, однако явно выраженная зависимость ТКН от температуры наблюдается лишь при напряжениях стабилизации 4–7 В. При $U_{ст}$ выше 6–7 В и ниже 4 В изменение температуры окружающей среды практически не оказывает влияния на ТКН.

Если через стабилизатор протекает значительный ток, то необходимо учитывать вызванное этим током повышение температуры электронно-дырочного перехода и, следовательно, изменение напряжения стабилизации. Нестабильность напряжения стабилизации кремниевых стабилизаторов при изменении температуры может быть значительно уменьшена температурной компенсацией. Методы температурной компенсации предполагают использование совместно с кремниевыми стабилизаторами приборов с положительными и отрицательными ТКН. Компенсация будет совершенной лишь в том случае, если изменение температуры вызывает изменение падения напряжения на компенсирующих элементах, равное по величине и противоположное по знаку изменению напряжения стабилизации. На практике температурную компенсацию изменений напряжения стабилизации осуществляют последовательным включением с основным стабилизатором дополнительных диодов, смещенных в прямом направлении.

Диоды (стабилизаторы), включенные в прямом направлении, имеют отрицательный ТКН, линейно изменяющийся с температурой и сравнительно мало зависящий от тока.

Динамическое сопротивление последовательной цепи в этом случае остается невысоким, а температурная компенсация получается весьма хорошей. На рис. 4 показано влияние температуры на напряжение стабилизации и на прямое падение напряжения на стабилизаторе.

Стабильность параметров кремниевых стабилизаторов особенно важна при использовании их в качестве источников опорного напряжения. У сплавных стабилизаторов общего применения (к их числу относятся Д808—Д813, Д814, 2С156А, 2С168А) наблюдается увеличение $U_{ст}$ примерно на 0,2% от номинального значения в течение первых 5 000 ч работы. Далее увеличение $U_{ст}$ прекращается. Температурный коэффициент напряжения пробоя несколько уменьшается со временем. У диффузионных стабилизаторов (типы СК1, СК2, СК50) наблюдается незначительное изменение параметров в течение первых 1 000 ч эксплуатации.

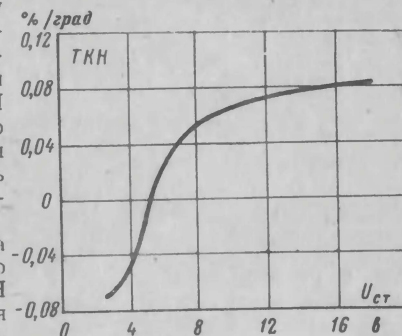


Рис. 3. Зависимость ТКН от напряжения стабилизации.

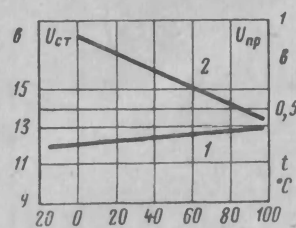


Рис. 4. График, показывающий влияние температуры на напряжение стабилизации (1) и на величину прямого падения напряжения стабилизатора (2).

КОНСТРУКТИВНОЕ ОФОРМЛЕНИЕ И ПАРАМЕТРЫ ОТЕЧЕСТВЕННЫХ ПОЛУПРОВОДНИКОВЫХ СТАБИЛИТРОНОВ

Отечественная промышленность выпускает кремниевые стабилизаторы с широким диапазоном напряжений стабилизации и с различной допустимой мощностью рассеяния, которые могут быть использованы в стабилизаторах напряжения, в системах регулирования, устройствах защиты от перегрузок, в ограничителях, в схемах формирования импульсов и др. Данные наиболее распространенных кремниевых стабилизаторов приведены в табл. 1.

Стабилизаторы малой мощности. Первыми отечественными полупроводниковыми стабилизаторами являются кремниевые приборы типов Д808—Д811 и Д813. Буква Д в обозначении этих стабилизаторов означает диод; первая цифра 8 — опорный или стабилизирующий; последние две цифры указывают среднее значение напряжения стабилизации. Выполняются диоды Д808—Д811 и Д813 в металлических герметичных корпусах с гибкими выводами (рис. 5,а). На рис. 6 показаны зоны разброса их напряжений стабилизации. При увеличении температуры окружающей среды выше 50°С допустимая мощность рассеяния снижается на 2,8 мвт/град по сравнению с указанной в табл. 1 мощностью 280 мвт.

В дальнейшем была разработана серия кремниевых стабилизаторов Д814А—Д814Д того же назначения. Первые два знака в обозначении этих стабилизаторов (Д8) расшифровываются так же, как у приборов серий Д808—Д813, число 14 — порядковый номер разработки, последний знак (буквы А, Б, В, Г, Д) обозначает деление серии на типы. Эти стабилизаторы изготавливают в металлическом герметичном корпусе со стеклянными изоляторами и гибкими выводами (рис. 5,б). Как видно из табл. 1, стабилизаторы серии Д814 по сравнению с Д808—Д813 при температуре до 30°С рассеивают большую мощность. Зависимость максимально допустимой мощности рассеяния стабилизаторов Д808—Д811, Д813 и Д814А—Д814Д от температуры приведена на рис. 7.

Напряжение $U_{ст}$ кремниевого стабилизатора при включении или резком изменении протекающего через него тока достигает установившегося значения спустя некоторое время (время вхождения в режим), необходимое для установления теплового равновесия между прибором и окружающей средой. У приборов с различным конструктивным оформлением это время колеблется в пределах от 30 сек до 3—7 мин.

Влагостойкость стабилизаторов. Стабилизаторы работоспособны в условиях высокой влажности. Технические условия на отечественные типы стабилизаторов разрешают эксплуатацию их при относительной влажности воздуха 90—98% при температуре 40°С.

Таблица 1
Параметры кремниевых стабилизаторов с мощностью
рассеяния до 10 Вт

Тип стабилизатора	Напряжение стабилизации $U_{ст}$, В	Ток стабилизации, мА		Динамическое сопротивление R_d не более, Ом		ТКН, %/град	Максимальная мощность рассеяния, Вт	Время вхождения в режим не более, мин
		$I_{ст. мин}$	$I_{ст. макс}$	на рабочем участке**	при $I_{ст. мин}$			
Д808	7—8,5	1	33	6	12	0,07	0,28	—
Д809	8—9,5	1	29	10	18	0,08	0,28	—
Д810	9—10,5	1	26	12	25	0,09	0,28	—
Д811	10—12	1	23	15	30	0,095	0,28	—
Д813	11,5—14	1	20	18	35	0,095	0,28	—
Д814А	7—8,5	1	40	6	12	0,07	0,34	—
Д814Б	8—9,5	1	36	10	18	0,08	0,34	—
Д814В	9—10,5	1	32	12	25	0,09	0,34	—
Д814Г	10—12	1	29	15	30	0,095	0,34	—
Д814Д	11,5—14	1	24	18	35	0,095	0,34	—
Д815А	5,6	50	1400	0,6	20	0,045	8	1
Д815П	6,8	50	1150	0,8	15	0,05	8	1
Д815Б	8,2	50	950	1	8	0,07	8	1,5
Д815БП	10	25	800	1,8	15	0,08	8	2
Д815Г	12	25	650	2	20	0,09	8	3
Д815ГП	15	25	550	2,5	25	0,1	8	4
Д815Д	18	25	450	3	30	0,11	8	4
Д816А	22	10	230	7	120	0,12	5	5
Д816АП	27	10	180	8	150	0,12	5	5
Д816Б	33	10	150	10	150	0,12	5	5
Д816БП	39	10	130	12	150	0,12	5	6
Д816Г	47	10	110	15	150	0,12	5	6
Д817А	56	5	90	35	200	0,14	5	7
Д817АП	68	5	75	40	200	0,14	5	7
Д817Б	82	5	60	45	300	0,14	5	7
Д817БП	100	5	50	50	300	0,14	5	7

При токе стабилизации 10 ма номинальное напряжение стабилизации приборов серии Д818 с любым буквенным индексом равно 9 в, максимальная мощность рассеяния — 0,3 вт, минимальный ток стабилизации — 3 ма и максимальный — 33 ма. Интервал рабочих температур от —60 до +120° С. Остальные параметры этих стабилизаторов даны в табл. 2 (при токе стабилизации 10 ма). Как видно из таблицы, для стабилизаторов всех типов, за исключением Д818А и Д818Б, знак ТКН не регламентируется, для стабилизаторов типа Д818А ТКН положительный, а для стабилизаторов типа Д818Б — отрицательный. Следует иметь в виду, что у приборов Д818Б—Д818Е возможно изменение знака ТКН при сохранении абсолютного значения ТКН, указанного в табл. 2. Наиболее часто наблюдается изменение знака ТКН с температурой у стабилизаторов Д818Д и Д818Е. Обозначение стабилизаторов Д818А—Д818Е расшифровывается аналогично обозначениям приборов Д814А—Д814Д.

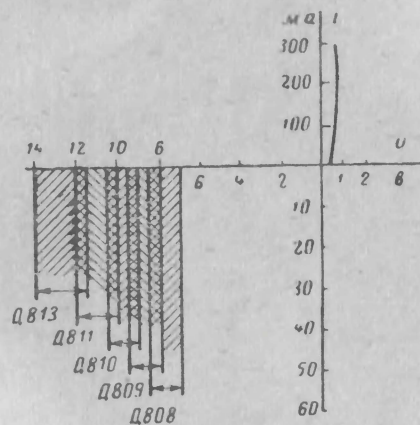


Рис. 6. Зоны разброса напряжений стабилизации диодов Д808—Д813.

Стабилизаторы средней и большой мощности. Стабилизаторы серий Д815, Д816, Д817 (обозначения расшифровываются аналогично обозначениям Д814А—Д814Д) обладают максимальной мощностью рассеяния 5—8 вт и охватывают широкий интервал напряжений стабилизации (см. табл. 1). Приборы заключены в герметичный металлический корпус со стеклянным изолятором, через который проходит гибкий вывод одного из электродов (рис. 5,з). Вторым выводом служит шпилька с резьбой в основании корпуса, предназначенная одновременно для электрического соединения в схеме и для крепления стабилизатора на радиаторе.

Стабилизаторы серий 2С920—2С980 конструктивно отличаются от стабилизаторов серий Д815—Д817 тем, что изолированный вывод из них жесткий в виде лепестка под пайку (рис. 5,д). Обозначение

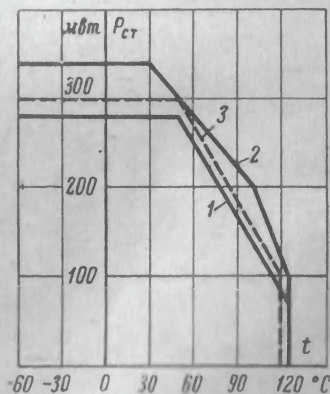


Рис. 7. Зависимость максимальной мощности рассеяния стабилизаторов от температуры окружающей среды.

1 — Д808—Д813; 2 — Д814А—Д814Д; 3 — 2С156А—2С168А, Д818А—Д818Г.

Таблица 2

Параметры прецизионных кремниевых стабилизаторов малой мощности

Параметры	Типы стабилизаторов					
	Д818А	Д818Б	Д818В	Д818Г	Д818Д	Д818Е
Допускаемое отклонение от номинального напряжения стабилизации, % . . .	+15	—15	±10	±5	±5	±5
Среднее значение ТКН, %/град . . .	+0,02	—0,02	±0,01	±0,005	±0,002	±0,001
Уход напряжения стабилизации в диапазоне температур от —60 до +110° С не более, мВ	+320	—320	±160	±80	±32	±16

чение этих стабилизаторов расшифровывается следующим образом: 2 — кремниевый; С — стабилизатор; 9 — большой мощности с напряжением стабилизации от 100 до 199 в; по следующим двум цифрам (20, 30, 50 или 80) можно определить величину напряжения стабилизации, если прибавить число 100, А — первая модификация.

Упомянутые стабилизаторы средней и большой мощности выпускают с добавочным индексом П в маркировке или без него. У стабилизаторов с индексом П с корпусом соединен катод, а у стабилизаторов без индекса — анод. Параметры обеих разновидностей стабилизаторов идентичны.

Стабилизаторы Д815—Д817 допускают двукратную перегрузку по току в течение 1 сек. На рис. 8 приведены графики зависимости допустимой мощности рассеяния от температуры корпуса стабилизаторов. Допустимая температура корпуса стабилизаторов Д815—Д817 135° С, стабилизаторов 2С920—2С980—130° С. Чтобы температура корпуса не превышала допустимую, радиатор должен иметь размер 70×70×2 мм; изготавливают его из листового алюминия.

Кремниевые стабилизаторы СК1 и СК2 (рис. 9 и табл. 3) рассчитаны на длительную работу с естественным воздушным охлаждением при температуре окружающей среды от —40 до +65° С.

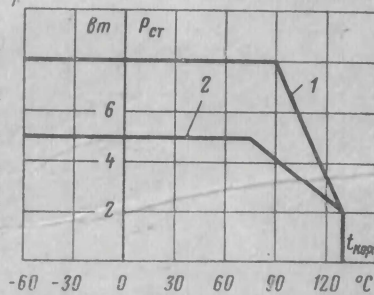


Рис. 8. Зависимость максимальной мощности рассеяния от температуры корпуса стабилизаторов.

1 — Д815А—Д815Ж и Д815АП—Д815ЖП; 2 — Д816А—Д816Д, Д816АП, Д816ДП; Д817А—Д817Г, Д817АП—Д817ГП, 2С920А—2С980А и 2С920АП—2С980АП.

Таблица 3

Параметры кремниевых стабилитронов СК1 и СК2 большой мощности

Тип стабилитрона	Номинальное напряжение стабилизации* $U_{ст}, в$	Номинальный ток стабилизации** $I_{ст.ном}, ма$	Динамическое сопротивление R_d не более, ом		ТКН, %/град
			при $I_{ст.ном}$	при $0,2 I_{ст.ном}$	
СК1 5,6/1000	5,6	1 000	0,5	0,8	0,045
СК1 6,8/1000	6,8	1 000	0,8	1,5	0,05
СК1 8,2/1000	8,2	1 000	1,0	2,0	0,07
СК1 10/500	10	500	1,5	2,5	0,08
СК1 12/500	12	500	1,8	3,0	0,09
СК1 15/500	15	500	2,2	3,5	0,1
СК1 18/500	18	500	3,0	4,5	0,11
СК1 22/150	22	150	4,5	7,0	0,11
СК1 24/150	24	150	6,0	8,5	0,12
СК1 28/150	28	150	8,0	12	0,12
СК1 30/150	30	150	10	30	0,12
СК1 36/150	36	150	12	45	0,12
СК1 43/150	43	150	14	60	0,12
СК1 51/150	51	150	25	70	0,12
СК1 62/50	62	50	30	80	0,14
СК1 75/50	75	50	35	100	0,14
СК1 91/50	91	50	40	100	0,14
СК1 110/50	110	50	45	110	0,14
СК1 120/50	120	50	50	112	0,14
СК1 150/50	150	50	55	150	0,15
СК1 180/50	180	50	60	150	0,15
СК1 220/25	220	25	80	300	0,15
СК1 270/25	270	25	110	400	0,15
СК1 300/25	300	25	150	500	0,15
СК2 5,6/2000	5,6	2 000	0,5	0,7	0,045
СК2 6,8/2000	6,8	2 000	0,7	1,2	0,05
СК2 8,2/2000	8,2	2 000	0,9	1,8	0,07
СК2 10/1000	10	1 000	1,0	2,2	0,08
СК2 12/1000	12	1 000	1,5	2,5	0,09
СК2 15/1000	15	1 000	2,0	3,0	0,1
СК2 18/700	18	700	2,5	3,5	0,11
СК2 22/300	22	300	3,5	5,0	0,12
СК2 24/300	24	300	4,0	6,0	0,12
СК2 28/300	28	300	5,0	8,0	0,12
СК2 30/300	30	300	8,0	25	0,12
СК2 36/300	36	300	9,0	30	0,12
СК2 43/300	43	300	10	35	0,12
СК2 51/200	51	200	12	45	0,12
СК2 62/200	62	200	25	60	0,14
СК2 75/100	75	100	30	80	0,14
СК2 91/100	91	100	35	90	0,14
СК2 110/100	110	100	45	100	0,14

Продолжение табл. 3

Тип стабилитрона	Номинальное напряжение стабилизации* $U_{ст}, в$	Номинальный ток стабилизации** $I_{ст.ном}, ма$	Динамическое сопротивление R_d не более, ом		ТКН, %/град
			при $I_{ст.ном}$	при $0,2 I_{ст.ном}$	
СК 2120/100	120	1 000	50	100	0,14
СК 2150/100	150	100	55	120	0,14
СК 2180/100	180	100	70	200	0,15
СК 2220/50	220	50	80	300	0,15
СК 2270/50	270	50	100	350	0,15
СК 2300/50	300	50	120	450	0,15

* Допускаемое отклонение от номинального напряжения стабилизации $\pm 10\%$.
 ** Значение номинального тока стабилитрона $I_{ст.ном}$ является одновременно предельно допускаемым при длительной работе стабилитрона с радиатором в условиях естественного охлаждения при температуре окружающей среды до 0°C .
 Падение напряжения в прямом направлении для стабилитронов СК1 не более 1,5 в при токе 500 ма, для СК2 — не более 1,5 в при токе 600 ма.

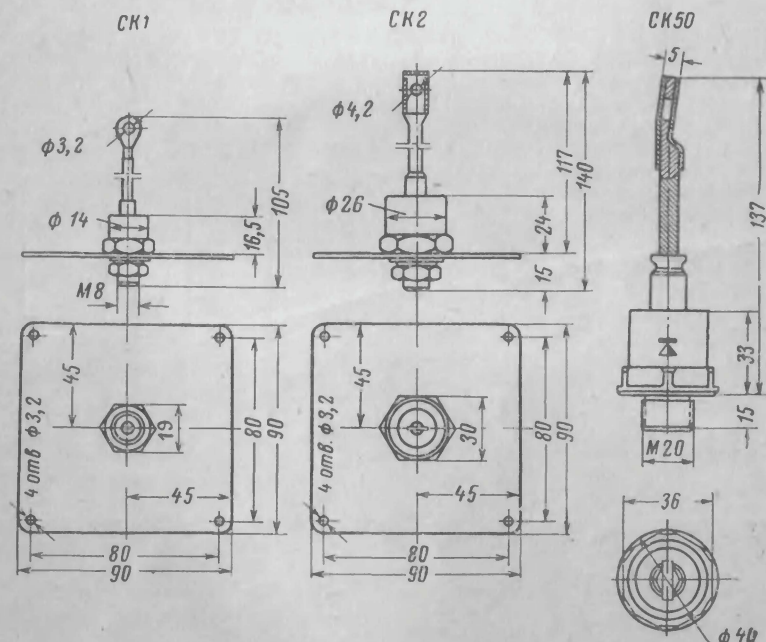


Рис. 9. Габаритные чертежи мощных кремниевых стабилитронов и нормированные размеры радиаторов для стабилитронов СК1 и СК2.

Обозначение этих стабилитронов состоит из четырех знаков: буквы СК означают стабилитрон кремниевый; второй знак указывает тип стабилитрона; третий — номинальное напряжение стабилизации в вольтах и четвертый — номинальный ток стабилизации в миллиамперах.

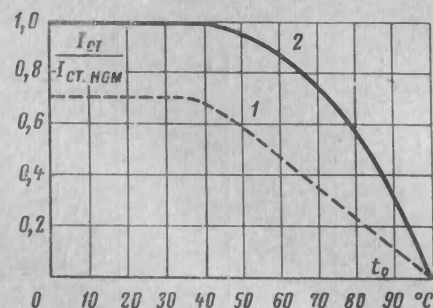


Рис. 10. Зависимость максимально допустимого тока стабилитронов СК1 и СК2 без радиаторов (1) и на радиаторах (2) от температуры окружающей среды.

рассеиваемая мощность должна быть снижена до 70% от номинальной. Применяя принудительное охлаждение стабилитронов (обдув струей воздуха), можно существенно повысить допустимую электрическую нагрузку. На рис. 11 приведена зависимость допустимого тока $I_{\text{ст}}$ от интенсивности принудительного охлаждения, а на рис. 12 — ампер-секундная характеристика стабилитронов, показывающая, какие кратковременные токовые перегрузки они способны выдерживать.

Кремниевые стабилитроны типа СК50 (рис. 9) с мощностью рассеяния до 50 Вт и напряжением стабилизации от 5 до 400 В надежно работают при температуре окружающей среды от -40 до $+65^{\circ}\text{C}$. Основные их параметры при температуре окружающей среды $40 \pm 5^{\circ}\text{C}$ приведены в табл. 4.

Обозначение стабилитронов складывается из четырех условных знаков: буквы СК означают стабилитрон кремниевый; число 50 — максимальная мощность рассеяния в ваттах; третий знак указывает напряжение стабилизации в вольтах и четвертый — номинальный ток стабилизации в миллиамперах.

В этих стабилитронах применен монокристаллический кремний электронного типа проводимости с удельным сопротивлением $0,015-5 \text{ ом} \cdot \text{см}$. Электронно-дырочный переход образован диффузией галлия в исходную кремниевую пластину. Для обеспечения до-

статочной механической прочности стабилизирующего элемента, гарантирующей надежную работу стабилитрона в тяжелых эксплуатационных условиях с ударными, вибрационными и термическими нагрузками, кремниевую пластину с $p-n$ переходом располагают между двумя электродами из вольфрама, имеющего близкий с кремнием коэффициент теплового расширения и обладающего высокой теплопроводностью. Вольфрамовые электроды приплавляют к кремниевой пластине специальными сплавами.

Герметичный корпус стабилитрона обеспечивает отвод тепла от стабилизирующего элемента и его защиту от механических повреждений и воздействия окружающей среды. Крепление стабилитрона в схеме осуществляется через резьбовое соединение основания (анод) и медный гибкий провод с наконечником (катод).

На рис. 10 приведена зависимость допустимого тока $I_{\text{ст}}$ стабилитронов типа СК1 и СК2 от температуры окружающей среды. Из нижней кривой этого рисунка видно, что при работе стабилитрона без радиатора, если окружающая температура не более 35°C ,



Рис. 11. График допустимого увеличения тока стабилитронов СК1 и СК2 при принудительном воздушном охлаждении.

статочной механической прочности стабилизирующего элемента, гарантирующей надежную работу стабилитрона в тяжелых эксплуатационных условиях с ударными, вибрационными и термическими нагрузками, кремниевую пластину с $p-n$ переходом располагают между двумя электродами из вольфрама, имеющего близкий с кремнием коэффициент теплового расширения и обладающего высокой теплопроводностью. Вольфрамовые электроды приплавляют к кремниевой пластине специальными сплавами.

Герметичный корпус стабилитрона обеспечивает отвод тепла от стабилизирующего элемента и его защиту от механических повреждений и воздействия окружающей среды. Крепление стабилитрона в схеме осуществляется через резьбовое соединение основания (анод) и медный гибкий провод с наконечником (катод).

Для обеспечения отвода тепла стабилитрон СК50 монтируют на пластинчатом алюминиевом радиаторе размером $100 \times 100 \times 2 \text{ мм}$.

Минимальный ток стабилизации $I_{\text{ст.мин}}$ для стабилитронов СК1, СК2 и СК50 при расчетах можно принимать равным $(0,15 \pm 0,2) I_{\text{ст.ном}}$.

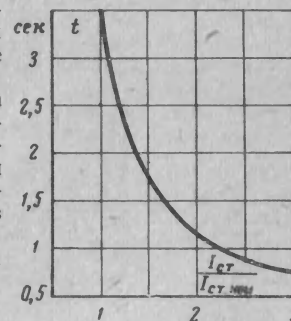


Рис. 12. Ампер-секундная нагрузочная характеристика стабилитронов СК1 и СК2.

ОСОБЕННОСТИ ЭКСПЛУАТАЦИИ ПОЛУПРОВОДНИКОВЫХ СТАБИЛИТРОНОВ

При монтаже стабилитронов с гибкими выводами в аппаратуре пайка должна производиться низкотемпературным припоем при мощности маломощного (50—60 Вт) паяльника в течение 2—3 сек с теплоотводом на выводе стабилитрона. Расстояние от места пайки до стеклянного изолятора или корпуса должно быть не менее 7—10 мм. Изгиб выводов допускается на расстоянии 2—3 мм от корпуса. Усилия, прилагаемые к гибким выводам, не должны превышать 2 кг. Крепление стабилитронов за гибкие выводы не рекомендуется. Корпус таких приборов должен быть приклеен к монтажной плате или закреплен держателем.

У стабилитронов большой и средней мощности категорически запрещается изгиб верхнего жесткого вывода, так как при этом можно разрушить стеклянный изолятор.

Допускается последовательное электрическое соединение любого количества стабилитронов. При последовательном соединении стабилитронов серий Д815, Д816, Д817, 2С920, 2С930, 2С950, 2С980 и креплении их на одном теплоотводе целесообразно использовать приборы, имеющие индекс П. Допускается параллельное соединение стабилитронов одного типа при условии, что суммарная рассеиваемая на всех стабилитронах мощность не превышает допустимую мощность рассеяния одного стабилитрона данного типа.

Для получения высокостабильного эталонного напряжения при помощи стабилитронов Д818А—Д818Е следует возможно более точ-

но поддерживать номинальный ток стабилизации, равный 10 ма, что обеспечивает наилучшую стабильность параметров стабилизаторов при изменениях температуры окружающей среды и тока стабилизации. При необходимости использовать их при токе стабилизации, отличном от номинального, не рекомендуется допускать увеличения этого тока выше 15 ма и уменьшения ниже 5 ма.

Таблица 4

Параметры кремниевых стабилизаторов большой мощности, разработанных Всесоюзным электротехническим институтом им. В. И. Ленина

Тип стабилизатора	Напряжение стабилизации $U_{ст. в}$	Номинальный ток стабилизации $I_{ст.ном. а}$	Динамическое сопротивление не более, ом		ТКН, %/град
			при $I_{ст.ном}$	0,2 при $I_{ст.ном}$	
СК50 5,6/4000	5,0—6,2	4	0,6	1	0,045
СК50 6,8/4000	6,1—7,5	4	0,8	1,5	0,05
СК50 8,2/4000	7,4—9,0	4	1,0	2	0,07
СК50 10/3000	9—11	3	1,8	2,5	0,08
СК50 12/3000	11—13	3	2,0	3	0,09
СК50 15/3000	13,0—16,5	3	2,5	4	0,1
СК50 18/2500	16,5—19,5	2,5	3	5	0,11
СК50 22/2000	19,5—24	2	5	7	0,12
СК50 24/2000	22—26	2	6	10	0,12
СК50 28/1500	25—31	1,5	8	15	0,12
СК50 30/1500	27—33	1,5	9	20	0,12
СК50 36/1000	32—40	1,0	10	25	0,12
СК50 43/1000	39—47	1,0	12	35	0,14
СК50 51/800	46—56	0,8	14	40	0,14
СК50 62/800	56—68	0,8	25	60	0,14
СК50 75/600	68—83	0,6	30	80	0,14
СК50 91/500	82—100	0,5	35	90	0,14
СК50 110/400	99—121	0,4	45	100	0,15
СК50 120/400	110—132	0,4	60	100	0,15
СК50 150/300	132—165	0,3	65	150	0,15
СК50 180/250	162—198	0,25	70	200	0,15
СК50 220/200	198—242	0,2	80	300	0,15
СК50 270/150	242—297	0,15	100	350	0,15
СК50 300/150	270—330	0,15	120	450	0,15
СК50 400/100	360—440	0,10	120	500	0,15

Работа стабилизаторов серий Д815, Д816, Д817, 2С920—2С980, СК1, СК2, СК50 гарантируется только при жестком креплении их на теплоотводящих радиаторах. Для обеспечения достаточно эффективного охлаждения прибора радиатор должен изготавливаться из материала, обладающего высокой теплопроводностью. Наиболее часто радиаторы изготавливают из алюминия, теплопроводность которого $\lambda=200$ вт/м·град. Медь, обладающая более высокой теплопроводностью ($\lambda=385$ вт/м·град), применяется лишь в исключитель-

ных случаях. Сталь обладает низкой теплопроводностью ($\lambda=10\div60$ вт/м·град), и поэтому использование ее для изготовления теплоотводящего радиатора обычно не рационально.

Важной характеристикой радиатора, показывающей, насколько затруднено рассеивание отводимого от стабилизатора тепла, является его тепловое сопротивление $R_{тп}$ (град/вт). Величина $R_{тп}$ зависит от материала, формы, площади поверхности радиатора и качества ее обработки. Требуемое тепловое сопротивление радиатора, при котором рассеивается мощность $P_{ст}$ при температуре корпуса стабилизатора не более $t_{к.доп}$ (см. рис. 8) и температуре окружающей среды t_c , вычисляется по формуле

$$R_{тп} = \frac{t_{к.доп} - t_c}{P_{ст}} - R_{тк.р.} \quad (7)$$

Величина теплового сопротивления между корпусом стабилизатора и радиатором $R_{тк.р.}$ при плотном прилегании их друг к другу составляет 0,5—1 град/вт. Площадь радиатора, который имеет форму квадратной пластины, изготовленной из алюминия, расположенной вертикально и свободно обтекаемой воздухом с обеих сторон, вычисляется по формуле

$$S = \frac{800}{R_{тп}} [см^2]. \quad (8)$$

Толщина пластины должна быть не менее 0,02—0,025 размера стороны квадрата.

ПРИМЕРЫ ПРИМЕНЕНИЯ СТАБИЛИЗАТОРОВ

Большое распространение в настоящее время получили полупроводниковые стабилизаторы напряжения питания. По сравнению со стабилизаторами на электронных лампах они отличаются высокой надежностью, экономичностью, меньшими весом и габаритом.

По принципу действия все стабилизаторы напряжения можно разделить на параметрические и компенсационные. Параметрическими принято называть стабилизаторы, у которых регулирующий элемент воздействует на стабилизируемую величину так, чтобы приблизить ее к заданной без оценки их разности. В компенсационных стабилизаторах напряжение на нагрузке сравнивается с заданным образцовым значением напряжения (опорное напряжение) и в зависимости от полученной разности производится воздействие на стабилизируемую величину так, чтобы уменьшить эту разность до допустимых значений.

Компенсационные стабилизаторы имеют обычно значительно больший коэффициент стабилизации по сравнению с параметрическими, однако последние более просты и надежны в эксплуатации. Малые габариты и вес, большое разнообразие типов кремниевых стабилизаторов обеспечивают параметрическим стабилизаторам широкое применение в радиоаппаратуре.

Простейший параметрический стабилизатор. Наиболее простая и вместе с тем весьма распространенная схема параметрического стабилизатора постоянного напряжения приведена на рис. 13,а. Он представляет собой делитель напряжения, состоящий из резистора R_0 и стабилизатора Д. При изменении питающего напряжения U_n напряжение на стабилизаторе и на нагрузке U_n изменяется незначительно, в чем и выражается стабилизирующее действие схемы.

Эквивалентная схема такого стабилизатора приведена на рис. 13.б. Здесь стабилитрон представлен как источник постоянного напряжения (равного напряжению стабилизации) с внутренним со-

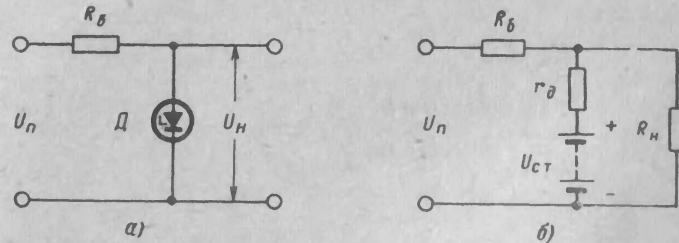


Рис. 13. Параметрический стабилизатор постоянного напряжения (а) и его эквивалентная схема (б).

противлением r_d , равным динамическому сопротивлению стабилитрона. В первом приближении сопротивлением нагрузки R_n можно пренебречь, поскольку $r_d \ll R_n$. В этом случае выходное напряжение стабилизатора

$$U_n = \frac{U_n - U_{ст}}{R_b + r_d} r_d + U_{ст}. \quad (9)$$

Если считать, что напряжение $U_{ст}$ остается постоянным при изменении питающего напряжения U_n , то будет справедливо соотношение

$$\Delta U_n = \frac{r_d}{R_b + r_d} \Delta U_n. \quad (10)$$

Учитывая, что $R_b \gg r_d$,

$$\Delta U_n = \frac{r_d}{R_b} \Delta U_n, \quad (11)$$

где ΔU_n — изменение напряжения на нагрузке (выходного напряжения стабилизатора);

ΔU_n — изменение входного напряжения.

Отношение $\Delta U_n / \Delta U_n$ называют коэффициентом стабилизации напряжения; он показывает, во сколько раз изменение питающего напряжения превосходит изменение напряжения на нагрузке. С увеличением сопротивления балластного резистора коэффициент стабилизации возрастает. Однако увеличение сопротивления R_b требует повышения напряжения питания, чтобы выходное напряжение стабилизатора осталось прежним. Это не всегда целесообразно, так как значительная часть потребляемой мощности рассеивается на балластном резисторе и к. п. д. схемы получается низким. Оптимальное сопротивление балластного резистора с достаточной точностью можно определить по формуле

$$R_b = \frac{U_n - U_{ст}}{I_p}, \quad (12)$$

где I_p — расчетный ток, протекающий через стабилитрон, величина которого обычно лежит в следующих пределах:

$$I_{ст.мин} < I_p < I_{ст.макс}, \quad (13)$$

где $I_{ст.мин}$, $I_{ст.макс}$ — минимальный и максимальный токи стабилитрона соответственно. Обычно принимают $U_n = U_{ст}$. Пределы изменения входного напряжения, как правило, известны. Поэтому сопротивление R_b выбирают таким, чтобы при максимальном значении питающего напряжения ток через стабилитрон был не более $I_{ст.макс}$.

Из соображений надежности работы стабилизатора при расчетах рекомендуется величину $I_{ст.макс}$ принимать на 20% меньше допустимой величины тока стабилизации полупроводникового прибора данного типа.

Из соотношения

$$\frac{U_{п.макс} - U_{ст}}{I_{ст.макс}} = \frac{U_n - U_{ст}}{I_p} \quad (14)$$

определяют расчетный ток стабилитрона:

$$I_p = I_{ст.макс} \frac{U_n - U_{ст}}{U_{п.макс} - U_{ст}}. \quad (15)$$

При этом необходимо проверить, выполняется ли условие:

$$I_{ст.мин} \leq \frac{U_{п.мин} - U_{ст}}{U_{п.макс} - U_{ст}} I_{ст.макс}. \quad (16)$$

После расчета сопротивления балластного резистора R_b по формуле (12) определяют пределы изменения питающего напряжения, при котором выполняется условие $I_{ст.мин} < I_p < I_{ст.макс}$:

$$U_{п.макс} = U_{ст} + R_b I_{ст.макс}; \quad (17)$$

$$U_{п.мин} = U_{ст} + R_b I_{ст.мин}. \quad (18)$$

Важным параметром стабилизатора является максимально допустимый ток нагрузки, при котором стабилизация еще остается удовлетворительной (при данном типе стабилитрона). Он определяется из выражения

$$I_{н.макс} = \frac{U_n - U_{ст} - I_{ст.мин} R_b}{R_b}. \quad (19)$$

Максимальная выходная мощность стабилизатора определяется как произведение максимального тока в цепи нагрузки на выходное напряжение

$$P_{ст} = I_{н.макс} U_{ст}. \quad (20)$$

И, наконец, оценивается снижение пульсации на выходе стабилизатора. Если нагрузка чисто активная, то коэффициент пульсации по току численно равен коэффициенту пульсации по напряжению.

Если стабилизатор питается от однополупериодного выпрямителя с коэффициентом пульсации на выходе s_1 , то коэффициент пульсации на выходе стабилизатора

$$s_{ст} = \frac{0,94s_1r_d}{R_6} \quad (21)$$

В случае питания от двухполупериодного выпрямителя с коэффициентом пульсации s_2

$$s_{ст} = \frac{0,47s_2r_d}{R_6} \quad (22)$$

Если нужно стабилизировать напряжение менее 5,6 в, то изменяют включение диодов в прямом направлении, так как стабилитроны с напряжением стабилизации менее 5,6 в не изготавливают. При этом можно использовать не только стабилитроны, но и плоскостные выпрямительные диоды, например Д202—Д205, Д206—Д211, Д226—Д226В. Несколько диодов соединяют последовательно

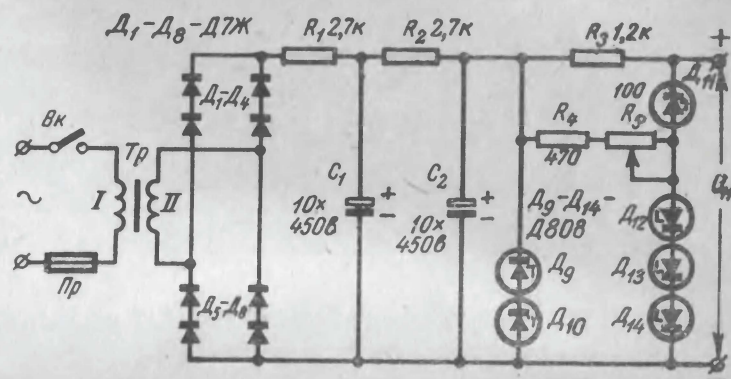


Рис. 14. Двухкаскадный параметрический стабилизатор напряжения с температурной компенсацией.

из расчета примерно 0,7—0,8 в стабилизируемого напряжения на каждый диод. Динамическое сопротивление диодов Д808—Д813 и Д202—Д205, включенных в проводящем направлении, имеет величину около 2 ом при токе 20 ма, 4 ом при 10 ма и 8 ом при 5 ма. Температурный коэффициент напряжения диодов и стабилитронов, включенных в проводящем направлении, отрицателен и по абсолютной величине больше ТКН для обычного включения стабилитронов.

Каскадный параметрический стабилизатор напряжения. В ряде случаев целесообразно использовать многокаскадные схемы параметрических стабилизаторов. На рис. 14 показана двухкаскадная схема низковольтного стабилизатора повышенной точности, имеющего следующие характеристики: выходное напряжение $U_n=10$ в, максимальный ток нагрузки $I_{н.макс}=2$ ма, коэффициент стабилизации 5000, выходное сопротивление 5 ом, ТКН= $0,001 \pm 0,003 \%$ /град, допустимые колебания напряжения сети $\pm 10\%$.

Выходное напряжение в схеме по рис. 14 не регулируется и определяется напряжением $U_{ст}$ стабилитрона D_{11} . Температурная

компенсация схемы осуществляется диодами $D_{12}-D_{14}$, включенными в прямом направлении. Величина и знак ТКН могут быть подобраны с помощью потенциометра R_5 за счет изменения тока, протекающего через стабилитроны $D_{12}-D_{14}$. Для повышения точности температурной компенсации все диоды $D_{11}-D_{14}$ располагают рядом в одинаковых температурных условиях. Вторичная обмотка трансформатора рассчитана на напряжение 220 в.

В последнем каскаде многокаскадного параметрического стабилизатора напряжения целесообразно использовать прецизионный кремниевый стабилитрон из числа Д818 с отрицательным ТКН, поскольку ТКН стабилитронов предварительных каскадов положителен.

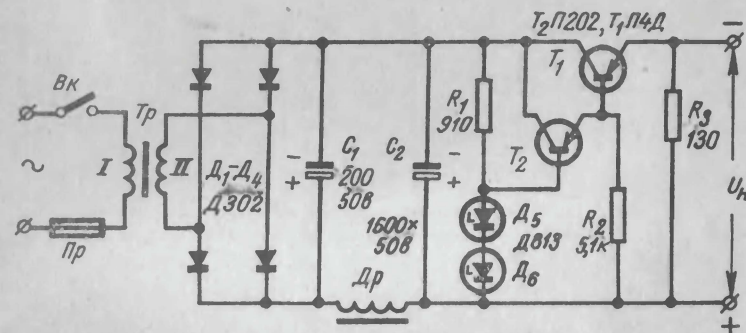


Рис. 15. Стабилизатор напряжения с транзисторами.

Компенсационные стабилизаторы напряжения. При необходимости получения больших диапазонов стабилизации при повышенной мощности в нагрузке используют стабилизаторы с усилительными элементами (обычно в виде транзисторов).

На рис. 15 показана схема стабилизатора с выходным напряжением 24 в, током нагрузки 0,2—2 а и выходным сопротивлением 0,3 ом. Стабилизатор представляет собой эмиттерный повторитель, в котором опорное напряжение задается кремниевыми стабилитронами D_5 и D_6 типа Д813. Выходное напряжение не регулируется и определяется выбранным типом стабилитронов. В связи с тем, что с изменением нагрузки стабилизатора ток через стабилитроны также изменяется в широких пределах, коэффициент стабилизации схемы невелик (около 15).

В качестве регулирующего элемента использован составной транзистор T_1, T_2 , смонтированный на теплоотводящем радиаторе. Ввиду отсутствия в схеме термокомпенсирующих элементов стабилизатор работоспособен в ограниченном интервале температур.

На рис. 16 приведена схема стабилизатора напряжения, предназначенного для питания цепей накала ламп. Его выходное напряжение не регулируется и составляет 6,3 в, номинальный нагрузочный ток равен 3 а, коэффициент стабилизации не менее 15. Стабилизатор представляет собой эмиттерный повторитель с источником опорного напряжения на кремниевом стабилитроне D_6 типа Д810, который питается от отдельного выпрямителя на диодах D_5-D_8 .

Опорное напряжение, подаваемое в цепь базы транзистора T_4 регулирующего элемента, представляет часть напряжения стабилитрона, снимаемую с резистора R_3 делителя R_2-R_4 .

Регулирующий элемент представляет собой двойной составной транзистор T_1-T_4 . Для увеличения тока нагрузки стабилизатора применено параллельное соединение мощных транзисторов T_1 и T_2 . Транзисторы T_1-T_3 монтируются на теплоотводящем радиаторе.

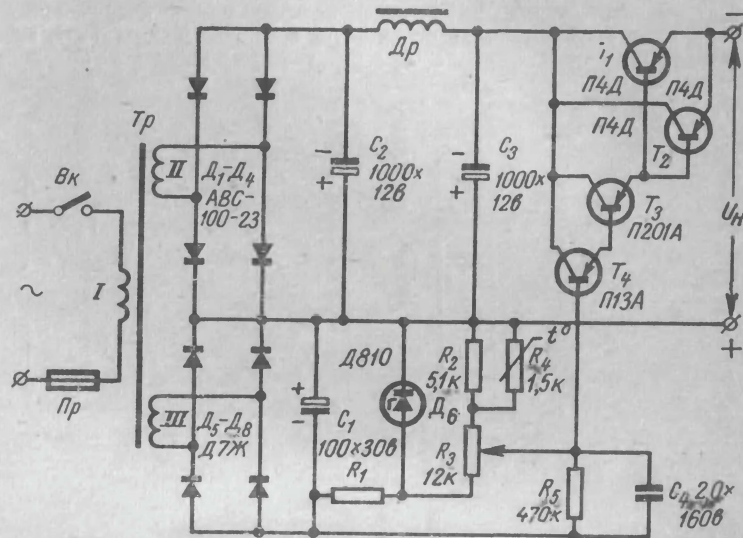


Рис. 16. Стабилизатор напряжения для питания цепей накала ламп.

Термокомпенсация схемы осуществляется полупроводниковым терморезистором типа ММТ-1 (R_4). Дроссель $Др$ собран на сердечнике $\Pi 20 \times 20$ из электротехнической стали и имеет 600 витков провода ПЭВ 1,0.

Важнейшей частью компенсационных стабилизаторов напряжения является измерительный элемент, фиксирующий отклонение напряжения на нагрузке от заданной величины. С измерительного элемента через усилитель напряжение подается на регулирующий элемент стабилизатора, который восстанавливает стабилизируемое напряжение до требуемого уровня.

На рис. 17 приведена схема низковольтного компенсационного стабилизатора с коэффициентом стабилизации, равным 2000. Выходное напряжение стабилизатора 1,5 в, ток нагрузки 0—0,2 а, выходное сопротивление 0,00075 ом, ТКС 0,01 мв/град.

Стабилизатор собран по схеме с инверсионным опорным напряжением, что и позволило при низковольтном мощном выходе получить высокий коэффициент стабилизации. Измерительным элементом служит мостовая схема опорного напряжения, термокомпенсированная диодом, включенным в прямом направлении. Стабилитрон $Д_8$ в этой схеме является опорным, а стабилитрон $Д_6$ — термокомпенси-

рующим. Величина подаваемого на мост постоянного напряжения должна составлять 150 в.

Усилитель обратной связи собран на транзисторе T_5 , нагрузкой которого служит токостабилизирующий элемент, состоящий из транзистора T_1 , стабилитронов $Д_6$, $Д_7$ и резисторов R_1 и R_4 . Для уменьшения выходного сопротивления в стабилизаторе применена положительная обратная связь по току с помощью резистора R_3 . Регулирующий элемент представляет собой составной транзистор $T_2T_3T_4$. Начальные токи смещения транзисторов T_2 и T_3 задаются резисторами R_5 и R_7 .

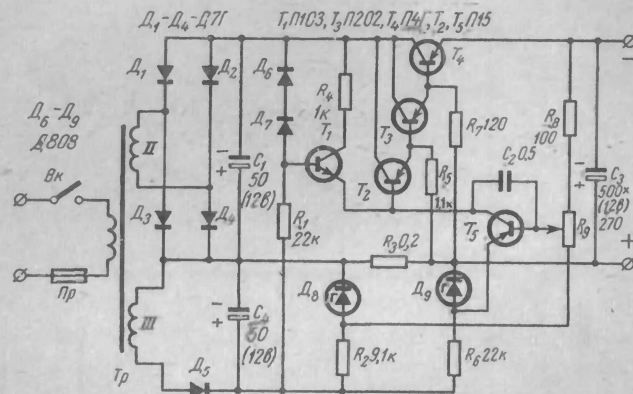


Рис. 17. Прецизионный низковольтный стабилизатор напряжения.

На рис. 18 приведена принципиальная схема стабилизированного источника питания с двумя выходными напряжениями. Напряжение $U_{н1}$, предназначенное для питания высоковольтных транзисторов, стабилизировано девятью соединенными последовательно кремневыми стабилитронами $Д811$ ($Д_{13}-Д_{21}$), которые определяют выходные данные первого канала: напряжение 100 в, ток нагрузки 15 ма, выходное сопротивление 10 ом. Напряжение $U_{н2}$ можно регулировать в пределах 0,3—27 в. Нестабильность этого выходного напряжения менее 0,4% при изменении тока нагрузки от нуля до максимальной величины и при колебаниях напряжения сети $\pm 15\%$. Выходное сопротивление низковольтного канала источника питания 0,01 ом.

Источником опорного напряжения является выпрямитель на диодах $Д_6-Д_9$ со стабилитронами $Д_{10}-Д_{12}$. Переменным резистором регулируют величину опорного напряжения. Напряжение на конденсаторе C_5 равно напряжению U_2 , а на конденсаторе C_4 — пропорционально опорному. Эти два напряжения составляют регулирующее напряжение, поступающее в цепь базы транзистора T_1 .

Усилитель выполнен на транзисторах T_1 и T_2 . В регулирующем элементе использованы соединенные параллельно транзисторы T_3 и T_4 , смонтированные на алюминиевом пластинчатом радиаторе размерами $210 \times 190 \times 6$ мм. Радиатором для диодов $Д302$ служит шасси стабилизатора.

Сердечник трансформатора Tr_1 набран из пластин Ш40, толщины набора — 30 мм. Первичная обмотка I трансформатора содержит 1050 витков провода ПЭВ 0,43, обмотка II — 20 витков провода ПЭЛ 0,15, обмотка III — 580 витков провода ПЭЛ 0,2, обмотка IV — 130 витков провода ПЭВ 1,3. Обмотки трансформатора Tr_2 намотаны на сердечнике сечением 1 см², набранном из пластин Ш12. Об-

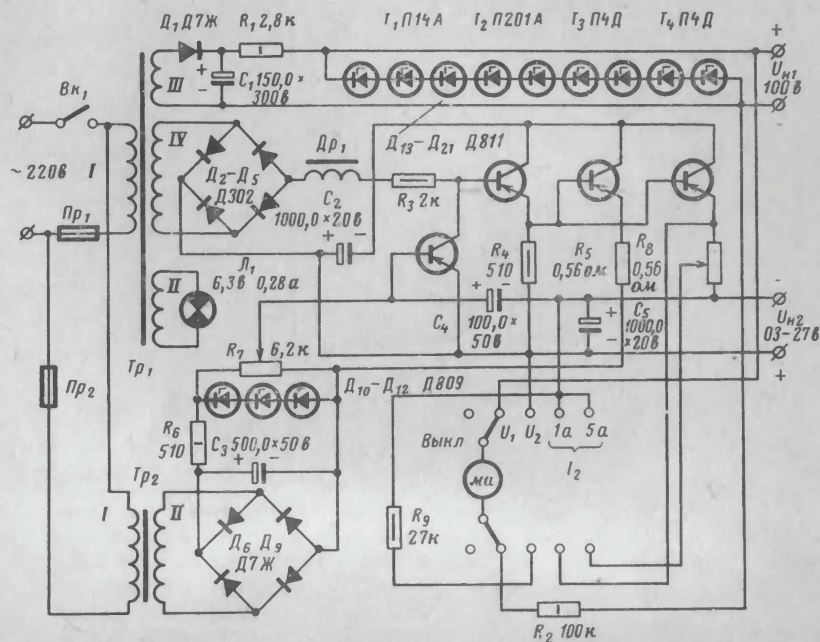


Рис. 18. Стабилизированный источник питания с двумя выходными напряжениями.

мотки содержат: I — 4 500 витков ПЭВ 0,06; II — 660 витков ПЭЛ 0,12. Дроссель Dr_1 намотан на сердечнике сечением 6 см² (из пластин Ш30); его обмотка содержит 140 витков провода ПЭВ 2,0.

Стабилизаторы переменного напряжения. В радиолюбительской практике может оказаться необходимым стабилизировать переменное напряжение. Используя полупроводниковые стабилизаторы, можно относительно просто построить такие стабилизаторы.

Одна из схем стабилизатора переменного напряжения на полупроводниковых стабилизаторах приведена на рис. 19, а. Напряжение сети через трансформатор Tr_1 поступает на цепочку, образованную балластным резистором R_6 и встречно включенными стабилизаторами D_1 и D_2 . Каждая полуволна переменного напряжения ограничивается на уровне напряжения стабилизации $U_{ст}$ стабилизаторов D_1 и D_2 , и в результате на выходе стабилизатора получается на-

пряжение U_n трапецеидальной формы (рис. 19, б). При изменении величины входного напряжения амплитуда напряжения на нагрузке остается постоянной, а действующее значение последнего несколько изменяется за счет изменения площади трапеции (рис. 19, б). Коэффициент стабилизации такой схемы обычно не превосходит 5.

Если на выходное трапецеидальное напряжение наложить небольшое по величине переменное (компенсирующее) напряжение,

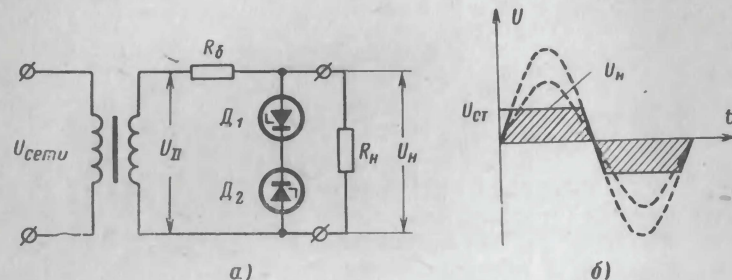


Рис. 19. Стабилизатор переменного напряжения (а) и форма его выходного напряжения (б).

пропорциональное входному и сдвинутое по фазе на 180°, то на нагрузке можно получить напряжение со стабильным действующим значением. На рис. 20 приведены схемы таких стабилизаторов. Компенсирующее напряжение U_k может подаваться в схему из сети через отдельный трансформатор (рис. 20, а) или с части вторичной обмотки трансформатора питания (рис. 20, б). Величина компенсирующего напряжения приближенно может быть определена из соотношения:

$$U_k = U_{ст} \frac{U_{II}}{\Delta U_{II}}, \quad (23)$$

где $U_{ст}$ — напряжение стабилизации стабилизатора;
 U_{II} — напряжение на вторичной обмотке трансформатора питания (действующее значение);
 ΔU_{II} — изменение этого напряжения.

Для расчета стабилизатора переменного напряжения можно использовать график на рис. 21. Если сопротивление нагрузки достаточно велико, действующее значение выходного напряжения U_n можно определить непосредственно из диаграммы, задавшись напряжением стабилизации $U_{ст}$, падением напряжения на стабилизаторе в прямом направлении $U_{пр}$ и зная напряжение вторичной обмотки трансформатора U_{II} .

Амплитуда переменного тока, протекающего через стабилизаторы, определяется из выражения

$$I_{стм} = \frac{U_{IIм} - U_{ст}}{R_6}, \quad (24)$$

где $U_{IIм}$ — амплитуда напряжения вторичной обмотки трансформатора;
 R_6 — сопротивление балластного резистора.

Величина $I_{стм}$ не должна превосходить максимально допустимой амплитуды тока стабилитрона $I_{ст.макс\ m}$, полученной из соотношения:

$$I_{ст.макс\ m} = \frac{2\sqrt{2}P_{ст}}{U_{ст}}, \quad (25)$$

где $P_{ст}$ — предельная мощность рассеяния стабилитрона при максимальной рабочей температуре.

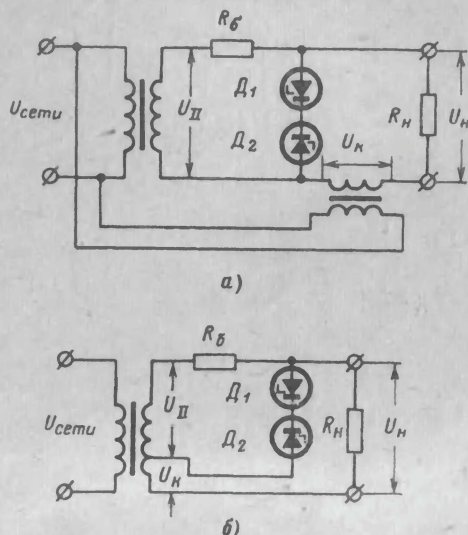


Рис. 20. Схемы для стабилизации действующего значения переменного напряжения.

Если сопротивление нагрузки R_H невелико, необходимо учитывать падение напряжения на резисторе R_6 . Тогда при определении параметров схемы по графику на рис. 21 вместо величины U_{II} необходимо откладывать величину

$$U'_{II} = U_{II} \frac{R_H}{R_6 + R_H}. \quad (26)$$

В этом случае амплитуда тока стабилитрона

$$I_{стм} = \frac{U_{IIм} - U_{ст} \left(1 + \frac{R_6}{R_H}\right)}{R_6}. \quad (27)$$

Действительное напряжение на нагрузке будет меньше полученного из диаграммы на величину компенсирующего напряжения U_K .

Ограничители и формирователи импульсов. Наряду с основной областью использования в стабилизаторах напряжения и тока полупроводниковые стабилитроны широко применяют в импульсных схемах в качестве ограничителей и формирователей.

В табл. 5 приведены схемы ограничителей на кремневых стабилитронах. Такие ограничители обладают высокими техническими характеристиками, так как сопротивление стабилитрона при напряжении, меньшем напряжения пробоя, обычно более 10 Мом, в режиме пробоя не превышает десятков ом, в прямом направлении при напряжении свыше 0,7 в — порядка 5—7 ом.

К недостаткам ограничителей на кремневых стабилитронах следует отнести невозможность плавной регулировки уровня ограничения.

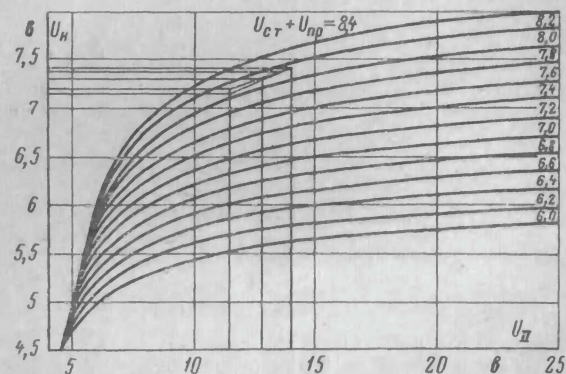


Рис. 21. График для расчета выходного напряжения стабилизатора.

В импульсных электронных схемах часто возникает необходимость получить импульсы разнообразной формы. Используя простую схему формирователя (схема 1 в табл. 6), состоящую из последовательно соединенных кремниевого стабилитрона D_1 , резистора R_1 и обычного выпрямительного диода D_2 , можно получить остроконечные импульсы. Если на вход формирователя подать синусоидальное напряжение, то на резисторе R_1 будет выделяться та часть положительной полуволны входного напряжения, которая лежит выше уровня стабилизации стабилитрона D_1 . Диод D_2 предназначен для выделения импульсов нужной полярности.

При необходимости иметь на выходе формирователя остроконечные импульсы обеих полярностей используют схему 2 (табл. 6), в которой вместо обычного выпрямительного диода применен стабилитрон D_2 .

Длительность импульсов $\tau_{имп}$, получаемых с помощью этих схем формирователей, можно определить из соотношения

$$\tau_{имп} = \frac{0,2 + 2,2U_2/U_1}{\pi f}, \quad (28)$$

где U_1 — амплитуда напряжения на входе формирователя;
 f — частота входного напряжения;

U_2 — амплитуда импульса, получаемого на выходе.

Ограничители на полупроводниковых стабилитронах

Таблица 5

Таблица 5

№ п/п.	Назначение ограничителя	Схема ограничителя
1	Параллельный ограничитель сигналов положительной полярности	
2	Параллельный ограничитель сигналов отрицательной полярности	
3	Параллельный двусторонний ограничитель	
4	Последовательный ограничитель сигналов положительной полярности	

Форма входного напряжения	Форма выходного напряжения	Амплитуда выходного напряжения
		$U_{2m} = U_{сг}$
		$U_{2m} = U_{сг}$
		$U'_{2m} = U_{сг2} + U_{пр1}$ $U''_{2m} = U_{сг1} + U_{пр2}$
		$U_{2m} = U_1 - U_{сг}$

№ п/п.	Назначение ограничителя	Схема ограничителя
5	Последовательный ограничитель сигналов отрицательной полярности	
6	Последовательный двусторонний ограничитель	
7	Ограничитель, выделяющий среднюю часть входного сигнала положительной полярности	
8	Ограничитель, выделяющий среднюю часть входного знакопеременного сигнала	

Форма входного напряжения	Форма выходного напряжения	Амплитуда выходного напряжения
		$U_{2m} = U_1 - U_{ст}$
		$U'_{2m} = U'_1 - (U_{ст2} + U_{пр1})$ $U''_{2m} = U''_1 - (U_{ст1} + U_{пр2})$
		$U_{2m} = U_{ст1} - U_{ст2}$
		$U'_{2m} = U_{ст2} - U_{ст4} + U_{пр1} - U_{пр2}$ $U''_{2m} = U_{ст1} - U_{ст3} + U_{пр2} - U_{пр4}$

Формирователи импульсов на полу

№ п/п.	Назначение формирователя	Схема формирователя
1	Формирование остроконечных импульсов положительной полярности	
2	Формирование остроконечных импульсов обеих полярностей	
3	Формирование остроконечных импульсов	
4	Формирование прямоугольных импульсов положительной полярности	

проводниковых стабилитронах

Таблица 6

Форма входного напряжения	Форма выходного напряжения	Амплитуда выходного напряжения
		$U_{2m} = U_{1m} - U_{ст} - U_{пр}$
		$U'_{2m} = U'_{1m} - U_{ст1} - U_{пр2}$ $U''_{2m} = U''_{1m} - U_{ст2} - U_{пр1}$
		$U_{2m} = (U_{1m} - U_{ст}) \beta \times \frac{R_1}{r_d + r_c + (1 + \beta) r_e}$
		$U_{2m} = U_{ст}$

№ п/п.	Назначение формирователя	Схема формирователя
5	Формирование остроконечных импульсов положительной полярности	
6	Формирование переменного напряжения прямоугольной формы	
7	Формирование пилообразного напряжения	
8	Формирование пилообразного напряжения с регулируемой постоянной составляющей	

Форма входного напряжения	Форма выходного напряжения	Амплитуда выходного напряжения
		$U_{2m} = U_{ст}$
		$U'_{2m} = U_{ст1} + U_{пр2}$ $U''_{2m} = U_{ст2} + U_{пр1}$
		—
		—

Однако коэффициент использования входного напряжения в подобных схемах формирователей чрезвычайно низок.

Формирователь остроконечных импульсов на полупроводниковом стабилитроне и транзисторе (схема 3) имеет коэффициент передачи больше единицы; при входном переменном напряжении 6 в на выходе получаются импульсы с амплитудой 15 в длительностью до 0,2 мсек.

Для получения импульсов прямоугольной формы используют цепочку, состоящую из резистора R и стабилитрона D_1 (схема 4). При подаче на вход такого формирователя синусоидального напряжения, амплитуда которого значительно превышает напряжения стабилизации стабилитрона, на выходе формирователя получаются импульсы практически прямоугольной формы. Если амплитуда входного напряжения превосходит напряжение стабилизации в 2—3 раза, выходное напряжение имеет трапециевидную форму.

При введении в последнюю схему дифференцирующей цепочки C_3R_2 (схема 5) на выходе можно получить остроконечные импульсы. Здесь диод D_2 служит для выделения импульсов определенной полярности. Для четкой работы этой схемы необходимо, чтобы входное напряжение было значительно больше напряжения стабилизации стабилитрона. Поэтому с целью уменьшения потерь на резисторе R_1 в схему введены конденсаторы C_1 и C_2 . Одновременно они осуществляют развязку по постоянному току выхода формирователя от входа. Изменяя соотношение емкостей C_1 и C_2 и сопротивление резистора R_1 , можно регулировать фазу выходных импульсов относительно входного напряжения.

Для получения переменного напряжения прямоугольной формы можно использовать цепочку, состоящую из резистора R_1 и встречно включенных стабилитронов D_1 и D_2 (схема 6 в табл. 6).

Если в такую схему добавить интегрирующую цепочку R_2C_3 (схема 7), то на выходе устройства получим пилообразное напряжение.

Чтобы получить пилообразное напряжение с регулируемой постоянной составляющей, необходимо изменять постоянные времени заряда и разряда конденсатора C_1 интегрирующей цепочки. Введение потенциометра R_2 и диода D_3 (схема 8) позволяет изменять постоянные времени заряда и разряда конденсатора C_1 , изменяя положение щетки потенциометра.

Применение стабилитронов в усилителях постоянного и переменного тока. Как сказано выше, динамическое сопротивление стабилитронов значительно меньше статического. Это свойство стабилитронов позволяет использовать их в качестве элементов связи или развязывающих элементов в усилителях постоянного тока или в усилителях низкой частоты.

Резистор автоматического смещения в цепи катода электронной лампы значительно ослабляет усиление каскада. Это ослабление уменьшают путем включения параллельно резистору смещения блокировочного конденсатора, емкость которого выбирается из условия

$$C_k = \frac{(300 \div 500) S_d}{f} \text{ [мкф]}, \quad (29)$$

где S_d — крутизна динамической характеристики лампы, ма/в;
 f — минимальная рабочая частота, гц.

Из этой формулы следует, что для нормальной работы усилителя при понижении нижнего предела частот емкость нужно увеличить. При усилении сигналов весьма низких частот расчетные значения емкости оказываются очень большими и поэтому в ряде случаев (например, в усилителях постоянного тока) отказываются от применения конденсатора C_k или берут его с относительно малой емкостью, допуская тем самым снижение коэффициента усиления каскада.

При недостаточной величине емкости конденсатора C_k коэффициент усиления низкочастотного каскада на нижних рабочих частотах меньше, чем на средних, вследствие этого появляются частотные искажения.

Для создания автоматического смещения вместо резистора в цепь катода можно включить кремниевый стабилитрон. Если катодный ток лампы превышает минимальный ток стабилизации стабилитрона, то напряжение на последнем изменится незначительно, так как динамическое сопротивление стабилитрона на этом участке характеристики мало. При этом ослабление сигнала, определяемое величиной $1 + S_{dk}R_{дин}$, практически отсутствует.

Если напряжение стабилизации $U_{ст}$ выше необходимого напряжения смещения $U_{с0}$, то можно применить делитель напряжения R_1-R_2 (рис. 22), удовлетворяющий условию:

$$\frac{R_2}{R_1 + R_2} = \frac{U_{с0}}{U_{ст}}. \quad (30)$$

Сумму сопротивлений резисторов $R_1 + R_2$ выбирают такой, чтобы ток через делитель был не более 10—20% катодного тока лампы. Следует избегать работы стабилитрона вблизи перегиба вольт-амперной характеристики вследствие того, что здесь возрастает динамическое сопротивление и повышается уровень шумов.

Применение стабилитронов во вспомогательных цепях транзисторных усилительных каскадов также весьма перспективно, поскольку электролитические конденсаторы, применяемые для связи между транзисторными каскадами и в развязывающих цепях, имеют невысокую надежность, особенно при колебаниях температуры. На рис. 23 приведена схема транзисторного усилительного каскада со стабилитроном D_1 вместо переходной емкости и стабилитроном D_2 вместо конденсатора цепи развязки. Кремниевый стабилитрон, примененный в качестве элемента междукаскадной связи, служит одновременно термокомпенсирующим элементом транзисторного каскада. Действительно, при увеличении температуры транзистора структуры $n-p-n$ происходит дополнительное положительное смещение за счет увеличения обратного тока. Однако увеличивающееся напряжение стабилизации кремниевого стабилитрона уменьшает это смещение.

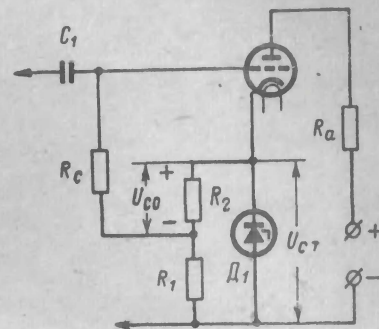


Рис. 22. Усилительный каскад со стабилитроном в цепи смещения.

Схемы с защитой от перегрузок. Полупроводниковые стабилизаторы можно использовать для защиты радиоэлектронной аппаратуры или отдельных ее элементов от перегрузок. Постоянство падения напряжения на кремниевом стабилизаторе в области пробоя делает

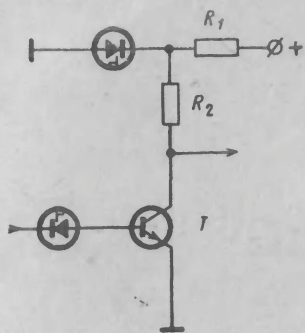


Рис. 23. Кремниевые стабилизаторы в качестве элемента связи и в цепи развязки транзисторного усилителя.

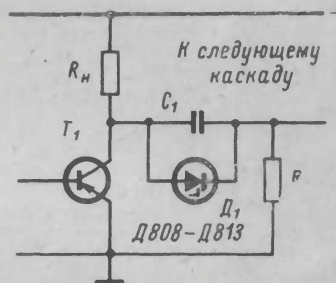


Рис. 24. Защита транзистора от перенапряжения.

его точным ограничительным элементом защитных схем. Высокая скорость переключения, достигаемая во время пробоя, позволяет создавать быстродействующие защитные системы. Защита чувстви-

тельных к перегрузкам элементов наиболее просто осуществляется параллельным подключением к нагрузке кремниевого стабилизатора, напряжение стабилизации которого ниже предельно допустимого для данной нагрузки.

Для защиты транзистора от случайных перенапряжений в усилительном каскаде можно использовать схему, показанную на рис. 24.

Напряжение коллектор—эмиттер $U_{к.э}$ (в нормальном режиме усиления оно равно $U_{к}-I_{к}R_{н}$) выбирается меньше предельно допустимого значения для данного типа транзистора. Вместе с тем напряжение $U_{к.э}$ выбирается таким образом, чтобы оно было меньше напряжения стабилизации диода. Тогда при нормальной работе каскада сопротивление стабилизатора настолько велико, что он практически не влияет на режим каскада. В случае неисправности в цепи базы ток $I_{б}$ может уменьшиться, а напряжение между коллектором и эмиттером возрасти до величины, близкой к $U_{к}$, вызывая перегрузку транзистора. Стабилизатор при этом шунтирует транзистор, предохраняя его от повреждения. В усилителях низкой частоты можно шунтировать стабилизатором участок коллектор—эмиттер. В широкополосном усилителе это может ухудшить его частотную характеристику, так как стабилизатор имеет емкость.

Кратко рассмотренные примеры применения полупроводниковых стабилизаторов далеко не исчерпывают возможностей использования их в радиолюбительской практике.

ОГЛАВЛЕНИЕ

Принцип действия полупроводниковых стабилизаторов	3
Основные параметры и характеристики полупроводниковых стабилизаторов	4
Конструктивное оформление и параметры отечественных полупроводниковых стабилизаторов	8
Особенности эксплуатации полупроводниковых стабилизаторов	17
Примеры применения стабилизаторов	19

Вниманию радиолюбителей

На складе Издательства имеется справочник А. Г. Соболевского «Тестеры и авометры». Массовая радиобиблиотека. Вып. 479, 40 стр. с илл., ц. 9 коп.

Заказы на справочник просьба направлять по адресу: Москва, Ж-114, Шлюзовая набережная, 10. Издательство «Энергия». Отдел распространения.

Книги высылаются наложенным платежом (без задатка).